

论著·临床研究

脾脏 EBV 阳性炎性假瘤样滤泡树突细胞肉瘤 1 例并文献复习

高玉霞¹, 梁奋雄¹, 陆骊工^{1,2△}

(1. 暨南大学珠海临床医学院/珠海市人民医院放射科, 广东 珠海 519000; 2. 广州市第一人民医院/华南理工大学附属第二医院介入科, 广东 广州 510000)

[摘要] 脾脏炎性假瘤样滤泡树突细胞肉瘤(IPT-like FDGS)是一种罕见的低度恶性肿瘤性疾病, 大多数与EB病毒(EBV)感染相关, 临床误诊率较高。该文报道了1例体检偶然发现脾脏占位, 经过实验室检查、影像学检查及病理检查等确诊为脾脏EBV阳性IPT-like FDGS病例, 并结合相关的国内外文献复习, 旨在让临床对该病有进一步的认识, 避免误诊。

[关键词] 炎性假瘤样滤泡树突细胞肉瘤; EB病毒; 脾脏肿瘤; 脾脏部分切除; 病例报告

DOI: 10.3969/j.issn.1009-5519.2024.24.016

文章编号: 1009-5519(2024)24-4214-04

中图法分类号: R733.2

文献标识码: A

A case of EBV-positive inflammatory pseudotumor-like follicular dendritic cell sarcoma of the spleen with literature review

GAO Yuxia¹, LIANG Fenxiong¹, LU Ligong^{1,2△}

(1. Zhuhai Clinical Medical College of Jinan University/Radiology Department, Zhuhai People's Hospital, Zhuhai, Guangdong 519000, China; 2. Interventional Radiology Department, the First People's Hospital of Guangzhou/the Second Affiliated Hospital of South China University of Technology, Guangzhou, Guangdong 510000, China)

[Abstract] Inflammatory pseudotumor-like follicular dendritic cell sarcoma (IPT-like FDGS) of the spleen is a rare low-grade malignant tumor disease, mostly associated with Epstein-Barr virus (EBV) infection, and has a high clinical misdiagnosis rate. This paper reports a case of an incidentally detected splenic mass during a physical examination, which was diagnosed as EBV-positive IPT-like FDGS of the spleen through laboratory tests, imaging studies, and pathological examination. Combined with a review of relevant domestic and international literature, this report aims to further clinical understanding of this disease and avoid misdiagnosis.

[Key words] Inflammatory pseudotumor-like follicular dendritic cell sarcoma; Epstein-Barr virus; Splenic tumor; Partial splenectomy; Case report

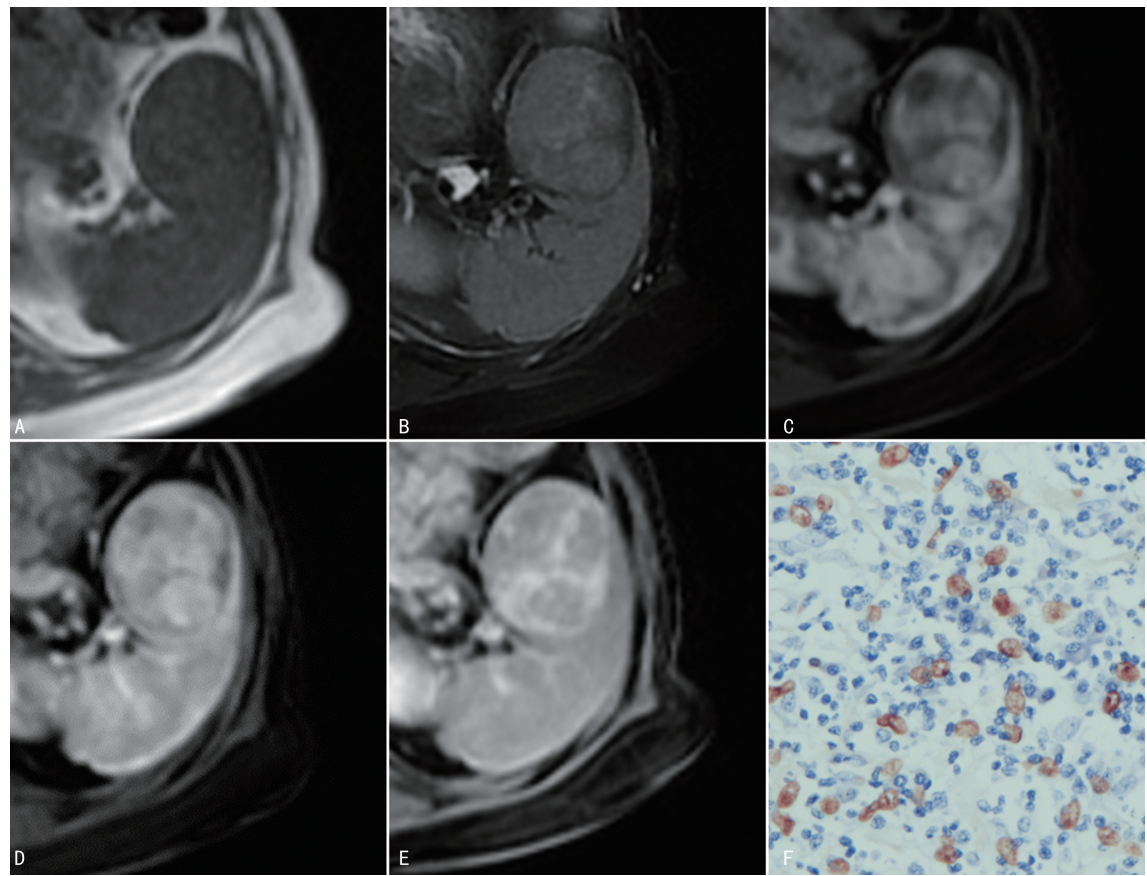
炎性假瘤样滤泡树突细胞肉瘤(IPT-like FDGS)是一种临床罕见的肿瘤, 因其缺乏特异性的临床表现, 常导致临床诊断困难, 而且误诊率较高^[1]。珠海市人民医院曾收治1例因体检发现脾脏占位而就诊的女性患者, 住院期间经过实验室检查、影像学检查及病理检查等, 最终确诊为“脾脏EB病毒(EBV)阳性IPT-like FDGS”。虽然这仅是单一的病例, 但是目前关于该病的国内外文献仍然较少, 临床仍缺乏对此病的系统性认知。因此, 本文通过回顾性分析该例脾脏EBV阳性IPT-like FDGS病例的诊治过程, 并复习与该病相关的文献, 以此加深对该病的认识, 对脾脏EBV阳性IPT-like FDGS的诊治有积极的临床意义。

1 临床资料

患者, 女, 71岁, 因“体检发现脾占位半月”于2023年3月15日入院。患者半月前在外院体检消化系彩色多普勒超声提示脾脏占位性病变, 伴左上腹隐痛, 有头晕、头痛, 无腹胀、乏力、畏寒发热等不适, 当时未行相关治疗。随后, 患者为求进一步诊治到珠海市人民医院就诊。患者既往有腔隙性脑梗死1月余, 有风湿性关节炎20年余, 否认其他特殊病史, 个人史无特殊。(1)体征: 腹平坦, 未见胃肠型及蠕动波, 腹软, 全腹无压痛, 无腹肌紧张; 肝、胆、脾肋下未及, 肝、肾区无叩痛, 墨菲征(-), 移动性浊音(-), 肠鸣音4次/分。(2)实验室检查: 白蛋白、血钾、血钠、阴离子

间隙、肾小球滤过率估算值降低,二氧化碳升高;余血常规检查、生化检查、凝血四项检查、粪便常规检查未见异常。肿瘤标志物检查示甲胎蛋白、癌胚抗原、糖链抗原 125、糖链抗原 19-9 未见异常。(3)影像学检查:上腹部磁共振成像(MRI)增强检查示脾脏内见边界清晰的类圆形团块影,大小为 44 mm×37 mm×45 mm。T1WI 呈等、略低信号,T2WI 压脂呈稍高信号,中央可见小斑片状高信号影,边缘可见低信号假包膜影。DWI 呈稍高信号,ADC 呈等、稍高信号。增强扫描示病灶动脉期呈不均匀中度强化,门静脉期呈渐进性强化,延迟期病灶内部进一步强化,假包膜强化达到最高。考虑脾脏占位,良性肿瘤性病变,错构瘤可能,硬化性血管瘤样结节转化不排除,见图 1A~E。(4)诊疗经过:患者入院后完善相关检查,排除手术禁忌证后行气管插管全身麻醉下腹腔镜脾脏部分切除术。术中于脾上极靠近胃大弯侧见外生性肿物突出于脾脏表面,肿物直径约 4 cm。自肿物根部开始,使用超声刀切割脾脏,将脾肿物切断;手术标本送术中冰冻,术中冰冻结果提示(脾脏肿物)浆细胞为主的背景中见散在核大的非典型细胞,局部纤维化,初步考虑淋巴组织增殖性病变,需鉴别炎性假瘤、IgG4 相关的硬

化性疾病、滤泡树突状细胞肉瘤(FDCS)等疾病,最终诊断待石蜡及免疫组织化学(免疫组化)检测结果。术程顺利,患者术后安返病房。(5)术后病理检查:组织形态学示脾脏组织内红髓、白髓结构消失,在淋巴细胞、浆细胞及多核巨细胞背景下见散在分布的梭形肿瘤细胞,细胞核圆形、卵圆形或梭形,核膜清晰,部分核仁不明显,染色质透亮、空泡状,未见明显的核分裂象,可见小灶坏死,局部间质胶原化;免疫组化检测结果显示:EMA(散在+),SMA(+),CD23(部分+),CD21(部分+),CD35(散在+),D2-40(小部分+),CD138、CD38(浆细胞+),CD1a(-),CD20(B 淋巴细胞+),CD3、CD8(T 淋巴细胞+),IG-G、IG-G4(浆细胞+),CD68(部分+),CD163(部分+),CD34(脉管+),CD30(-),S-100(散在+),CK-pan(-),Desmin(-),Ki67(热点区 15%~20%+);原位杂交结果显示:EBV 编码的小 RNA(EBER)(+),见图 1F。结合组织学形态免疫组化及原位杂交结果,符合 EBV 阳性 IPT-like FDCS,切缘未见肿瘤累及。术后予预防感染、止痛等对症治疗,患者一般情况可,进食后无特殊不适,遂予办理出院并嘱其定期门诊复查。



注:A. MRI 示脾脏内类圆形团块影,T1WI 呈等、略低信号;B. T2WI 压脂呈稍高信号,中央可见小斑片状高信号影,边缘见低信号假包膜影;C. 动脉期呈不均匀中度强化;D. 门静脉期呈渐进性强化;E. 延迟期肿块内部进一步强化,假包膜强化达到最高;F. 原位杂交示肿瘤细胞 EBER 呈散在(+) (免疫组化,400×)。

图 1 患者 MRI 影像及病理检测结果

2 讨 论

FDCS 于 1986 年被 MONDA 等^[2]首次报道, 是一种可发生于淋巴结或淋巴结外的罕见肿瘤。其中, IPT-like FDCS 是一种由于滤泡树突状细胞过度增殖导致的罕见的低度恶性肿瘤, 是 FDCS 的一个独特亚型^[1]。IPT-like FDCS 主要发生于脾脏与肝脏中, 并表现出相对独特的特点, 如好发于女性、病程长、存在明显的炎症背景, 以及与 EBV 感染相关等^[3]。其中, EBV 感染与 IPT-like FDCS 的发生、发展有着密切的关系, 究其原因可能是因为 EBV 是嗜淋巴细胞病毒, 并且潜伏的 EBV 基因可以通过抑制细胞凋亡和免疫逃逸参与肿瘤的发生^[4]。EBER 原位杂交呈阳性可以高度提示肿瘤合并 EBV 感染, 这也是诊断 IPT-like FDCS 的关键^[3]。另外, 肿瘤细胞通常表达以下一种或多种标志物: CD21、CD23、CD35、CXCL13、簇集素(Clusterin)^[5]。值得注意的是, 脾脏 EBV 阳性 IPT-like FDCS 的临床表现常缺乏特异性, 有时仅表现为左上腹或上腹痛^[6]。总体而言, 本病例符合该病的相关文献报道。

实际上, 脾脏 EBV 阳性 IPT-like FDCS 由于缺乏临床特异性, 常导致误诊, 而相关的影像学检查可以起到辅助作用。在超声上, 脾脏 IPT-like FDCS 常表现为边界清晰的低或混杂不均匀回声, CDFI 未见明显的血流信号^[7]。在 CT 上, 脾脏 IPT-like FDCS 主要表现为单发、类圆形、边界较清晰的低密度肿块影, 多发病灶较为少见, 有时可在病灶内见囊变坏死及钙化, 增强扫描示病灶动脉期为轻至中度强化, 门静脉期和延迟期持续进行性强化, 其强化程度最后甚至可以与正常脾脏实质相当^[8]。在 MRI 上, 脾脏 IPT-like FDCS 可在 T1WI 呈等信号, 在 T2WI 上可与脾脏呈相对等信号或呈相对低信号, 在 DWI 上呈现稍高或高信号, 病灶在增强扫描中呈渐进性强化, 以及可出现相对特异性的“假包膜征”^[9]。对此, 本病例在 MRI 增强检查中出现了“假包膜征”, 可以起到提示作用; 而病灶中央在 T2WI 压脂上可见小斑片状高信号影, 考虑其原因是 MRI 信号强度可随肿瘤的组成成分变化而变化。此外, 病灶在¹⁸F-FDG PET/CT 上可以表现为高代谢的肿块^[10]。

脾脏 EBV 阳性 IPT-like FDCS 主要应与以下疾病相鉴别:(1)脾脏错构瘤。该病是胚胎发育异常导致的脾脏良性肿瘤样病变, 多为单发病灶, 其特征性影像学表现是病灶内出现脂肪及钙化的信号或密度^[11]。(2)脾脏血管瘤。该病是常见的脾脏良性肿瘤, 其典型的影像学表现是在超声、CT 及 MRI 的增强检查上表现出“早出晚归的向心性强化”^[12]。(3)脾脏硬化性血管瘤样结节性转化。该病是一种发病率低、非肿瘤性的脾脏良性疾病, 多为偶然发现, 数多是

单发, 该病的影像学特点是增强扫描上病灶内出现轮廓状强化^[13]。(4)脾脏淋巴瘤。脾脏是淋巴瘤好发的器官, 可分为原发性与继发性, 其中原发性较为罕见, 在 CT 上表现为脾脏均匀增大, 可伴脾脏内单发或多发的低密度占位影, 并可有脾脏外淋巴结转移^[14]。(5)脾脏转移瘤。脾脏是肿瘤转移的罕见部位, 其中黑色素瘤是脾脏转移瘤的最常见来源之一, 这些转移瘤通常表现为脾脏内多发病灶, 单发病灶较为罕见, 而且黑色素瘤有其独特的影像学征象, 即病灶在 T1WI 呈高信号而 T2WI 呈低信号, 并且结合相关原发肿瘤病史可以做出明确诊断^[11]。

在治疗方面, 外科手术切除被认为是治疗脾脏 EBV 阳性 IPT-like FDCS 的首选方案^[15]。另外, 由于其生物学行为较为惰性, 所以相关的辅助治疗对于这类肿瘤的治疗作用尚不明确^[4]。有研究结果显示, 对 6 例肿瘤单纯手术切除治疗的 IPT-like FDCS 患者(其中 3 例为脾脏 IPT-like FDCS)进行 3~48 个月的术后随访, 5 例患者为无瘤生存(另外 1 例随访 4 年后失访), 从侧面证实了外科手术切除肿瘤是该病的最佳治疗方案, 但是建议医生需要彻底检查手术标本以确保肿瘤已经完整切除^[16]。值得注意的是, 由于这种肿瘤具有复发的可能性, 因此建议患者术后也应该定期复查^[17]。而本病例术后 1 年余复查, 提示术区未见明显肿瘤复发及转移征象, 这也进一步支持了脾脏 EBV 阳性 IPT-like FDCS 外科手术完整切除病灶后预后良好的观点。

综上所述, 发生于脾脏的 EBV 阳性 IPT-like FDCS 由于缺乏特异性临床表现, 常常导致临床误诊, 而当发现脾脏单发病灶、有 EBV 感染、肿瘤标志物未见异常、MRI 增强检查发现病灶有“假包膜征”, 以及在排除脾脏其他肿瘤性疾病后, 应该高度警惕该病的可能。虽然相关的影像学检查可以起到提示作用, 但是病理检查仍然是诊断脾脏 EBV 阳性 IPT-like FDCS 的“金标准”。鉴于本病例具有相对独特的临床特点, 希望通过此病例帮助临床进一步认识和了解该病的诊断和治疗。

参 考 文 献

- [1] ZHANG J R, HE L, MA X J, et al. Imaging findings of inflammatory pseudotumor-like follicular dendritic cell sarcoma of the spleen: A case report and literature review [J]. Oncol Lett, 2022, 24(5): 399.
- [2] MONDA L, WARNKE R, ROSAI J. A primary lymph node malignancy with features suggestive of dendritic reticulum cell differentiation. A report of 4 cases [J]. Am J Pathol, 1986, 122:

- (3):562-572.
- [3] PAGLIUCA F, RONCHI A, AURICCHIO A, et al. Inflammatory pseudotumor-like follicular/fibroblastic dendritic cell sarcoma: Focus on immunohistochemical profile and association with Epstein-Barr virus[J]. Infect Agent Cancer, 2022, 17(1):63.
- [4] LEE O Z J, OMAR N, TAY J K, et al. A clinicopathology review and update of Epstein-Barr Virus-Associated mesenchymal tumors [J]. Cancers (Basel), 2023, 15(23):5563.
- [5] LI J L, REN M, BI F, et al. Favorable response to PD-1 inhibitor plus chemotherapy as first-line treatment for metastatic follicular dendritic cell sarcoma of the spleen: A case report[J]. Front Immunol, 2023, 14:1228653.
- [6] VAN BAETEN C, VAN DORPE J. Splenic Epstein-Barr Virus-Associated inflammatory pseudotumor[J]. Arch Pathol Lab Med, 2017, 141(5):722-727.
- [7] 陈桂武, 谢玉环, 刘文芹, 等. 炎性假瘤样滤泡树突状细胞肉瘤临床及超声表现[J]. 中国医学影像技术, 2022, 38(7):1103-1105.
- [8] 张露, 姚慧, 翁高龙. 脾脏 EB 病毒阳性炎性滤泡树突状细胞肉瘤超声表现 1 例[J]. 中国超声医学杂志, 2023, 39(11):1313.
- [9] 石慧娴, 韩雷. 炎性假瘤样滤泡树突状细胞肉瘤的 CT 表现[J]. 中国中西医结合影像学杂志, 2023, 21(6):698-700.
- [10] LI X M, SHI Z S, YOU R X, et al. Inflammatory Pseudotumor-Like follicular dendritic cell sarcoma of the spleen: Computed tomography imaging characteristics in 5 patients[J]. J Comput Assist Tomogr, 2018, 42(3):399-404.
- [11] XU L B, GE R, GAO S S. Imaging features and radiologic-pathologic correlations of inflammatory pseudotumor-like follicular dendritic cell sarcoma[J]. BMC Med Imaging, 2021, 21(1):52.
- [12] KIRYU S, TAKEUCHI K, SHIBAHARA J, et al. Epstein-Barr virus-positive inflammatory pseudotumour and inflammatory pseudotumour-like follicular dendritic cell tumour[J]. Br J Radiol, 2009, 82(976):e67-e71.
- [13] 葛力, 刘玉晶, 杨逸铭, 等. 脾脏炎性假瘤样滤泡树突状细胞肉瘤 MRI 表现 1 例[J]. 现代医用影像学, 2022, 31(5):988-990.
- [14] RAO L J, YANG Z Y, WANG X Y, et al. Imaging findings of inflammatory pseudotumor-like follicular dendritic cell tumor of spleen[J]. Clin Nucl Med, 2014, 39(4):e286-e289.
- [15] 谢刚, 李康. 脾脏错构瘤一例病理解剖学分型及影像学表现并文献复习[J]. 实用医学影像杂志, 2022, 23(2):132-135.
- [16] GOURTZOYIANNI S, LANIADO M, ROS-MENDOZA L, et al. The spectrum of solitary benign splenic Lesions-Imaging clues for a noninvasive diagnosis[J]. Diagnostics (Basel), 2023, 13(12):2120.
- [17] SAID J, DIETZ R. Sclerosing angiomyoid nodular transformation of the spleen[J]. Blood, 2021, 137(17):2417.
- [18] LIAO J Y, WANG Z B, LI Q, et al. CT and MRI features of sclerosing angiomyoid nodular transformation of the spleen: A report of 18 patients with pathologic correlation[J]. Diagn Interv Imaging, 2021, 102(6):389-396.
- [19] LI M, ZHANG L, WU N, et al. Imaging findings of primary splenic lymphoma: A review of 17 cases in which diagnosis was made at splenectomy[J]. PLoS One, 2013, 8(11):e80264.
- [20] NIE C C, XIE X, LI H Y, et al. Epstein-Barr virus-positive inflammatory follicular dendritic cell sarcoma with significant granuloma: Case report and literature review[J]. Diagn Pathol, 2024, 19(1):34.
- [21] 向春香, 王建军, 吴楠, 等. 炎性假瘤样滤泡树突状细胞肉瘤 6 例临床病理特征及预后分析[J]. 临床与实验病理学杂志, 2014, 30(7):751-754.
- [22] BUI P L, VICENS R A, WESTIN J R, et al. Multimodality imaging of Epstein-Barr virus-associated inflammatory pseudotumor-like follicular dendritic cell tumor of the spleen: case report and literature review[J]. Clin Imaging, 2015, 39(3):525-528.

(收稿日期:2024-05-14 修回日期:2024-10-31)